

М.В. Богданова¹, Л.С. Миловская¹, А.Ю. Трошин²

Воронежский государственный педагогический университет, Россия (1)
Воронежский государственный технический университет, Россия (2)

ИССЛЕДОВАНИЕ ТЕПЛОФИЗИЧЕСКИХ ПРОЦЕССОВ В ЗАМКНУТЫХ СОСУДАХ РАЗЛИЧНОЙ ГЕОМЕТРИЧЕСКОЙ ФОРМЫ

АННОТАЦИЯ

В работе предлагается модель процесса теплообмена в цилиндрической емкости с полусферическими днищами, полностью заполненной жидкостью. Высота цилиндра предполагается переменной, что позволяет изучать процесс при различных формах емкости.

1. ВВЕДЕНИЕ

В настоящее время имеется большое количество работ, посвященных изучению процессов теплопереноса в условиях конвективного теплообмена. Широко известна научная школа В.И.Полежаева, деятельность которой направлена на решение задачи наиболее адекватного описания процессов естественной конвекции, происходящих в емкостях различной геометрической конфигурации. Это, в первую очередь, сфера, вертикально расположенный цилиндр с плоскими и полусферическими днищами. Такая геометрия обусловлена преимущественно потребностями ракетно-космической и авиационной промышленности, так как топливные баки и емкости для хранения криогенных жидкостей имеют в первую очередь именно такую форму [1].

В качестве математического аппарата используется система Навье-Стокса в приближении Буссинеска. Наиболее популярными для численного счета являются методы конечных разностей и конечных элементов. В работах варьируются размеры баков, проводятся расчеты при различных числах Грасгофа, различных подводах тепла, а также возможных степенях заполнения емкостей исследуемой жидкостью.

Кроме того, используются различные виды оболочек, термоизоляционных материалов, применяются различные способы охлаждения. Все эти условия находят свое отражение в предлагаемых компьютерных моделях. Результаты численных экспериментов представляют собой тепловые поля и поля течений как внутри исследуемых областей, так и в их оболочках, что дает возможность для более эффективного проектирования и создания емкостей для хранения и транспортировки авиационного и ракетного топлива.

Имеются работы, в которых предлагается модель расчета для горизонтально расположенного цилиндра, а также для цилиндра с осью, наклоненной под заданным углом [2].

Несмотря на обилие работ, в которых исследуется поведение жидкостей, задача создания оптимальных условий для хранения криогенных жидкостей по-прежнему остается актуальной.

В связи с этим требуются более рациональные и адекватные компьютерные модели, позволяющие по изменению выбранных параметров получать соответствующие поля течений и температур.

2. ИССЛЕДОВАНИЕ ПРОЦЕССОВ ТЕПЛОМАССОПЕРЕНОСА В УСЛОВИЯХ КОНВЕКЦИИ В СОСУДАХ РАЗЛИЧНЫХ ГЕОМЕТРИЧЕСКИХ ФОРМ

2.1. Физическая постановка задачи

Рассматривается замкнутый сосуд цилиндрической формы с полусферическими днищами и переменной образующей h , а также сферическая область при $h = 0$. Сосуд, полностью заполненный жидкостью, подвергается постоянному тепловому воздействию.

Физические свойства жидкости и оболочек не зависят от температуры, а поля течений и температур осесимметричны. Бак имеет цилиндрический радиус R . Стенка считается термически тонкой, т.е. изменение температуры поперек стенки считается пренебрежимо малым. Необходимо определить тепловое поле и поле течения внутри емкости, то есть результат конвекционного процесса.

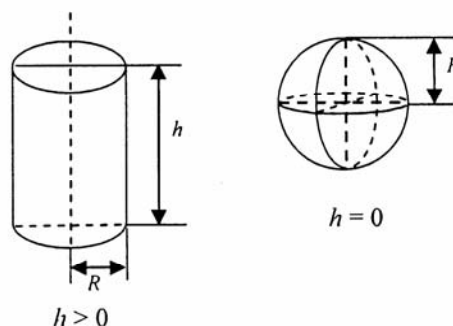


Рис. 1. Исследуемая емкость

2.2. Математическая постановка задачи

Конвекционное течение и теплообмен внутри бака описываются двумерными нестационарными уравнениями Навье-Стокса в приближении Буссинеска в цилиндрической системе координат.

Уравнение энергии:

$$\frac{\partial \theta}{\partial \tau} + U \frac{\partial \theta}{\partial r} + V \frac{\partial \theta}{\partial z} = \frac{1}{\text{Pr}} \left[\frac{1}{r} \frac{\partial \theta}{\partial r} + \frac{\partial^2 \theta}{\partial r^2} + \frac{\partial^2 \theta}{\partial z^2} \right]. \quad (1)$$

Уравнения движения:

$$\begin{aligned} \frac{\partial U}{\partial \tau} + U \frac{\partial U}{\partial r} + V \frac{\partial U}{\partial z} + \frac{U}{r^2} = \\ = - \frac{\partial P}{\partial z} + \frac{1}{r} \frac{\partial U}{\partial r} + \frac{\partial^2 U}{\partial r^2} + \frac{\partial^2 U}{\partial z^2}, \end{aligned} \quad (2)$$

$$\begin{aligned} \frac{\partial V}{\partial \tau} + U \frac{\partial V}{\partial r} + V \frac{\partial V}{\partial z} + \frac{V}{r^2} = \\ = - \frac{\partial P}{\partial z} + \frac{1}{r} \frac{\partial V}{\partial r} + \frac{\partial^2 V}{\partial r^2} + \frac{\partial^2 V}{\partial z^2} + f. \end{aligned} \quad (3)$$

Уравнение неразрывности:

$$\frac{\partial U}{\partial r} + \frac{\partial V}{\partial z} + \frac{U}{r} = 0, \quad (4)$$

где f – внешняя сила; U, V – проекции скорости на r и φ ; θ – безразмерная температура.

Граничными условиями являются

$$\left. \frac{\partial \theta}{\partial n} \right|_{\Gamma} = q, \quad (5)$$

где q – внешний тепловой поток; Γ – граница области,

$$U|_{r=0} = V|_{r=0} = 0. \quad (6)$$

При $r=0$ действует условие ограниченности

$$\text{решения } \left. \frac{\partial \theta}{\partial r} \right|_{r=0} = 0, \quad \left. \frac{\partial U}{\partial r} \right|_{r=0} = 0, \quad \left. \frac{\partial V}{\partial r} \right|_{r=0} = 0. \quad (7)$$

Начальными условиями являются

$$\begin{aligned} \theta|_{t=0} = \theta_0, \\ U|_{r=0} = V|_{r=0} = 0. \end{aligned} \quad (8)$$

Расчеты производятся для следующих значений констант $Gr = 10^4$ (Грасгофа), $\text{Pr} = 1$ (Прандтля), $R = 1$.

2.3. Сеточный метод решения системы

Разобьем полуокружность на $2n$ частей. Спроектируем точки разбиения по φ на оси z и r . См. рис. 1.

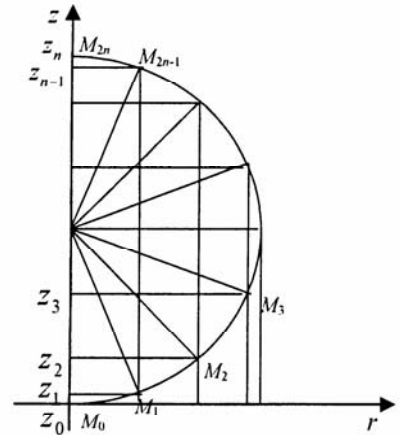


Рис. 1. Сетка на полусфере

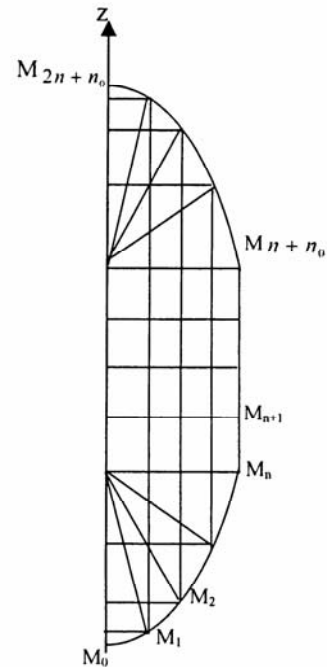


Рис. 2. Сетка в сферическо-цилиндрической области

Спроектируем точки $M_0, M_1, M_2, \dots, M_n$ на оси Or и Oz . Таким образом, на оси Or получилось $n+1$ точка – $r_0, r_1, r_2, \dots, r_n$, а на оси Oz – $2n+1$ точка – $z_0, z_1, z_2, \dots, z_{2n}$.

Обозначим n_0 – количество разбиений оси z в цилиндрической части емкости, тогда шаги по координатам определяются следующим образом:

$$\Delta r_i = r_{i+1} - r_i, \quad i = 0, 1, \dots, n-1;$$

$$\Delta z_j = \begin{cases} z_{j+1} - z_j, j=0, 1, \dots, n-1, j=n+n_0, n+n_0+1, \dots, 2n-1, \\ \frac{h}{n_0}, j=n, n+1, \dots, n+n_0-1; \end{cases} \quad \frac{\theta_{i,j} - \theta_{i-1,j}}{\Delta r_{i-1}} \cdot \frac{r_i}{R} + \frac{\theta_{i,j} - \theta_{i,j-1}}{\Delta z_{j-1}} \cdot \frac{z_i - R}{R} = q, i=0, 1, \dots, n; \quad (13)$$

$$r_i = R \sin \frac{i\pi}{2n}, i=0, 1, \dots, n;$$

$$a) z_j = R - R \cos \frac{j\pi}{2n}, j=0, 1, \dots, n;$$

$$b) z_j = R + (j-n) \cdot \frac{h}{n_0}, j=n+1, \dots, n+n_0;$$

$$в) z_j = R + h + R \sin \left(\frac{(j - (n+n_0))\pi}{2n} \right), \text{ где}$$

$$j = n+n_0+1, \dots, 2n+n_0.$$

Получим следующую разностную аппроксимацию системы (1)-(8):

$$\begin{aligned} & \frac{\theta_{i,j}^{k+1} - \theta_{i,j}^k}{\Delta \tau} + U_{i,j}^k \frac{\theta_{i+1,j}^k - \theta_{i,j}^k}{\Delta r_i} + V_{i,j}^k \frac{\theta_{i,j+1}^k - \theta_{i,j}^k}{\Delta z_j} = \\ & = \frac{1}{\text{Pr}} \left[\frac{1}{r_i} \cdot \frac{\theta_{i+1,j}^k - \theta_{i,j}^k}{\Delta r_i} + \right. \\ & + \frac{\theta_{i+1,j}^k \Delta r_{i-1} - \theta_{i,j}^k (\Delta r_{i-1} + \Delta r_i) + \theta_{i-1,j}^k \Delta r_i}{\Delta r_i^2 \Delta r_{i-1}} + \\ & \left. + \frac{\theta_{i,j+1}^k \Delta z_{j-1} - \theta_{i,j}^k (\Delta z_{j-1} + \Delta z_j) + \theta_{i,j-1}^k \Delta z_j}{\Delta z_j^2 \Delta z_{j-1}} \right]; \quad (9) \end{aligned}$$

$$\begin{aligned} & \frac{U_{i,j}^{k+1} - U_{i,j}^k}{\Delta \tau} + U_{i,j}^k \frac{U_{i+1,j}^k - U_{i,j}^k}{\Delta r_i} + V_{i,j}^k \frac{U_{i,j+1}^k - U_{i,j}^k}{\Delta z_j} + \frac{U_{i,j}^k}{r_i^2} = \\ & = - \frac{(P_{i+1,j}^k - P_{i,j}^k)}{\Delta r_i} + \frac{1}{\text{Pr}} \frac{U_{i+1,j}^k - U_{i,j}^k}{\Delta r_i} + \\ & + \frac{U_{i-1,j}^k \Delta r_{i-1} - U_{i,j}^k (\Delta r_{i-1} + \Delta r_i) + U_{i-1,j}^k \Delta r_i}{\Delta z_j^2 \Delta z_{j-1}} + \\ & + \frac{U_{i,j+1}^k \Delta z_{j-1} - U_{i,j}^k (\Delta z_{j-1} + \Delta z_j) + U_{i,j-1}^k \Delta z_j}{\Delta z_j^2 \Delta z_{j-1}}; \quad (10) \end{aligned}$$

$$\begin{aligned} & \frac{V_{i,j}^{k+1} - V_{i,j}^k}{\Delta \tau} + U_{i,j}^k \frac{V_{i+1,j}^k - V_{i,j}^k}{\Delta r_i} + V_{i,j}^k \frac{V_{i,j+1}^k - V_{i,j}^k}{\Delta z_j} = \\ & = - \frac{(P_{i,j+1}^k - P_{i,j}^k)}{\Delta r_j} + \frac{1}{r_i} \frac{V_{i+1,j}^k - V_{i,j}^k}{\Delta r_i} + \\ & + \frac{V_{i-1,j}^k \Delta r_{i-1} - V_{i,j}^k (\Delta r_{i-1} + \Delta r_i) + V_{i-1,j}^k \Delta r_i}{\Delta r_i^2 \Delta r_{i-1}} + \\ & + \frac{V_{i,j+1}^k \Delta z_{j-1} - V_{i,j}^k (\Delta z_{j-1} + \Delta z_j) + V_{i-1,j}^k \Delta r_i}{\Delta z_j^2 \Delta z_{j-1}} + f_{i,j}^k; \quad (11) \end{aligned}$$

$$\frac{V_{i+1,j}^k - U_{i,j}^k}{\Delta r_i} + \frac{V_{i,j+1}^k - V_{i,j}^k}{\Delta z_j} + \frac{U_{i,j}^k}{r_i} = 0, \quad (12)$$

где $i=1 \dots n-1, j=i+1 \dots 2n+n_0-1$.

Построим разностные уравнения в граничных точках области.

а) Для точек $z \geq R+h$ имеем следующий вид граничного условия:

б) Для точек $z \leq R$.

$$\frac{\theta_{i,2n-i} - \theta_{i-1,2n-i}}{\Delta r_{i-1}} \cdot \frac{r_i}{R} + \frac{\theta_{i,2n-i+1} - \theta_{i,2n-i}}{\Delta z_{2n-i}} \cdot \frac{z_{2n-i} - R}{R} = q; \quad (14)$$

в) Если $R < Z < R+h$

$$\frac{\theta_{n,j} - \theta_{n-1,j}}{\Delta r_{n-1}} = q, \quad (15)$$

где $j = n \dots n+n_0$.

На оси z имеем $U_{0,j} = U_{1,j}, V_{0,j} = V_{1,j}, \theta_{0,j} = \theta_{1,j}$, где $j = 1 \dots 2n+n_0-1$.

$$U_n = V_n = 0$$

$$\theta_0 = U_0 = V_0 = 0. \quad (16)$$

3. Алгоритм расчета теплового поля и поля течений

1. Определяются r_i, z_j, dr_i, dz_j и Δt из условия устойчивости

$$\Delta \tau \leq \frac{\min(\Delta r^2, \Delta z^2)}{4 \left(\frac{1}{\text{Pr}} \right)}. \quad (17)$$

2. Задаются начальные значения

$$\theta_{i,j}^{(0)}, U_{i,j}^{(0)}, V_{i,j}^{(0)}, P_{i,j}^{(0)}.$$

3. На каждом шаге по $\Delta \tau$ находим из уравнения (9) $\theta_{i,j}$. Затем из уравнения (10) $U_{i,j}$. Из уравнения (11) $V_{i,j}$.

4. Из уравнений (13)-(16) находим $\theta_{i,j}$ на границе.

5. Пользуясь уравнением неразрывности, проверяем условия его выполнения (12) для $U_{i,j}$ и $V_{i,j}$. Если они не удовлетворяют данному условию, то происходит уточнение данных значений с помощью уточнения $P_{i,j}$ и нахождения нужного значения $P_{i,j}$ для данного $\tau = k\Delta \tau$.

Таким образом, получаем тепловое поле, поле течений внутри емкости, а также на границе.

4. Анализ результатов

Расчет проводился для значений h в диапазоне от 0 до 1 с шагом 0.1, $n_0 = 4, n = 4$.

Анализируя результаты, можно видеть, что для различной геометрической формы меняется характер зависимости температуры и проекции скорости V от времени. Рассматриваются три фиксированные точки (θ_1 в верхней полусфере, θ_3 в нижней полусфере и θ_2 в цилиндрической части). При этом наблюдается различный вид графиков зависимости θ и V от температуры в этих точках. Это видно на следующих графиках (рис. 3).

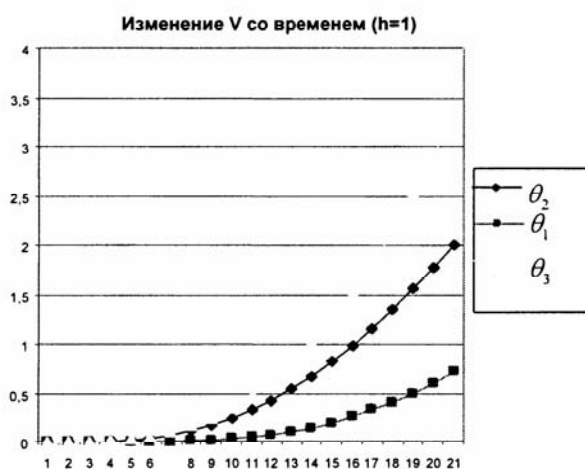
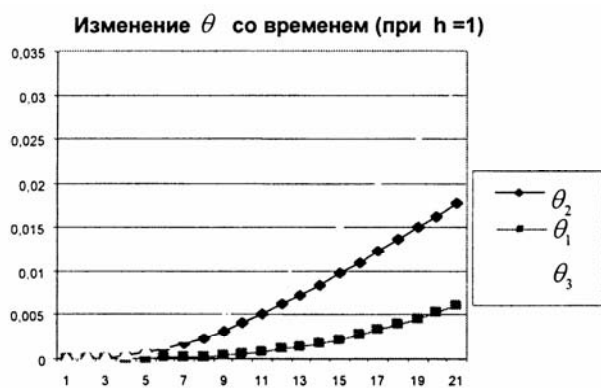


Рис. 3. Изменение температуры и проекции скорости от времени

Результат при $h=0$ на сетке 10×20 согласуется с результатами, проведенными в [1].

Предлагаемая в данной работе компьютерная модель может вполне успешно использоваться на анализе условий и материалов для конструирования топливных баков и емкостей по хранению криогенных жидкостей.

СПИСОК ЛИТЕРАТУРЫ

1. Вальциферов Ю.В., Полежаев В.И. Конвективный теплообмен и температурное расслоение в сфере, полностью заполненной жидкостью при заданном потоке тепла. Механика жидкости и газа. – №3, 1975.
2. Богданова М.В., Фалеев В.В. Расчет термогидродинамических параметров в цилиндрическом баке при различных положениях оси / Труды III Российской национальной конференции по теплообмену. М., 2002.